

## บทที่ 3

# ขั้นตอนวิธีเชิงตัวเลขชนิดใหม่

### 3.1 การนำเสนอภาพ

#### 3.1.1 การนำเสนอภาพเฉดเทา

สำหรับภาพถ่ายสามารถพิจารณาภาพเป็นฟังก์ชันได้ดังนี้

$$u : \Omega \subset \mathbb{R}^2 \rightarrow V \subset [0, \infty)$$

เป็นฟังก์ชันต่อเนื่อง โดยที่  $\mathbf{x} = (x, y) \in \Omega$  แทนพิกัดทางกายภาพ (physical position) ของภาพ  $u(\mathbf{x}) \in V$  แทนระดับความเข้มของภาพ (image intensity) ที่  $\mathbf{x}$  และ  $\Omega$  แทนโดเมนของภาพ ซึ่งในที่นี้สามารถสมมติได้โดยไม่เสียหลักการสำคัญว่า  $\Omega = [1, n]^2$  และ  $V = [0, 1]$  เมื่อ  $n > 1$  เป็นจำนวนเต็มบวก และโดเมนของภาพเป็นรูปสี่เหลี่ยม ทั้งนี้จะเรียกภาพ  $u$  ที่นิยามข้างต้นว่าภาพเฉดเทา (grayscale image)

8	0.2	0.2	0.2	0.2	0.3	0.4	0.4	0.4
7	0.2	0.2	0.2	0.4	0.4	0.4	0.4	0.4
6	0.2	0.2	0.4	0.4	0.4	0.4	0.5	0.6
5	0.2	0.3	0.4	0.4	0.4	0.6	0.6	0.6
4	0.2	0.4	0.4	0.4	0.6	0.6	0.5	0.6
3	0.3	0.4	0.4	0.5	0.6	0.5		0.8
2	0.4	0.4	0.4	0.6	0.6	0.6	0.8	0.8
1	0.4	0.4	0.5	0.6	0.6	0.7	0.8	0.8
	1	2	3	4	5	6	7	8

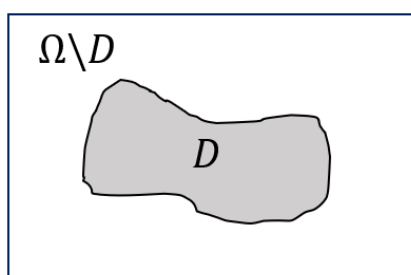
รูปที่ 3.1.1: ตัวอย่างภาพเฉดเทาที่แสดงระดับความเข้มของภาพในแต่ละระดับ

จากภาพ 3.1.1 สังเกตว่าที่ค่าความเข้มของภาพเข้าใกล้ 0 จะให้สีเป็นลักษณะสีดำ ดังเช่นบริเวณที่พิกัดทางกายภาพเป็น (4,8) และเมื่อค่าความเข้มของสีเข้าใกล้ 1 จะให้สีที่มีลักษณะเป็นสีขาว ดังเช่นบริเวณที่มีพิกัดทางกายภาพเป็น (7,1)

### 3.1.2 การต่อเติมภาพเฉดเทา

ในโครงการวิจัยชิ้นนี้สำหรับการต่อเติมภาพ จะทำการหาคำตอบของภาพที่อยู่ในโดเมนต่อเติมภาพ ซึ่งจะของกำหนดตัวแปรต่างๆ ดังนี้

ให้  $\Omega \subset \mathbb{R}^2$  แทนโดเมนภาพ (image domain)  $D \subset \mathbb{R}^2$  แทนโดเมนต่อเติม (ดูรูปที่ 3.1.2) และ  $V \subset [0, \infty)$  และให้  $u : \Omega \rightarrow V$ ,  $z : \Omega \rightarrow V$  แทนภาพที่ได้รับการซ่อมแซมและภาพที่ต้องการซ่อมแซมตามลำดับ



รูปที่ 3.1.2:  $D$  แทนโดเมนต่อเติม

การต่อเติมภาพเฉดเทาจะเป็นการหาคำตอบของพื้นที่ได้รับความเสียหายที่ยูบนภาพ  $z$  ซึ่งเป็นบริเวณในโดเมนต่อเติม  $D$  โดยใช้ข้อมูลที่มีอยู่ใน  $\Omega \setminus D$  เพื่อหาข้อมูลใน  $D$  ที่ได้รับความเสียหายเป็นคำตอบในภาพ  $u$

### 3.1.3 การนำเสนอภาพสี

ต่อไปจะพิจารณาภาพสีในระบบ RGB นั่นคือ จะพิจารณาว่าภาพ  $\mathbf{u}$  ประกอบด้วยสีด้วยกันทั้งสิ้น 3 คือ แดง, เขียว และ น้ำเงิน จึงเขียนภาพ  $\mathbf{u}$  ในรูปแบบของเวกเตอร์ได้ดังนี้

$$\mathbf{u} = (u_1, u_2, u_3)^T : \Omega \rightarrow V^3$$

เมื่อ  $u_1, u_2, u_3 : \Omega \rightarrow V$  แทนภาพในเฉดสีแดง สีเขียว และสีน้ำเงินของ  $\mathbf{u}$  ซึ่งการต่อเติมภาพสีที่พูดถึงในโครงการวิจัยนี้จะทำการแยกแต่ละเฉดสีออกเป็นเฉดเทา 3 ระบาย แล้วจึงใช้การต่อเติมภาพเฉดเทากับทั้ง 3 เฉดสีก่อนรวมกลับเป็นภาพสีอีกครั้ง

### 3.2 ตัวแบบเชิงแปรผันสำหรับต่อเติมภาพเฉดเทา

ในการต่อเติมภาพเฉดสีเทา Chan และ Shen [1] ได้นำเสนอตัวแบบเชิงการแปรผัน (variational model) ที่ใช้เร็กคิวลาร์ไรซ์เซชันแบบการแปรผันรวม (Total variation based regularization) โดยพัฒนาต่อจากตัวแบบ ROF สำหรับการกำจัดสัญญาณรบกวน [2] ซึ่งตัวแบบเชิงการแปรผันนี้กำหนดโดย

$$\min_u \{ \mathcal{J}(u) = \frac{1}{2} \int_{\Omega} \lambda(u - z)^2 d\Omega + \int_{\Omega} |\nabla u| d\Omega \} \quad (3.2.1)$$

เมื่อ

$$\lambda = \lambda(\mathbf{x}) = \begin{cases} \lambda_0, & x \in \Omega \setminus D \\ 0, & x \in D \end{cases} \quad (3.2.2)$$

แทนพารามิเตอร์เร็กคิวลาร์ไรซ์เซชัน (regularization parameter) และ  $\lambda_0 > 0$

โดยแคลคูลัสของการแปรผัน (Calculus of variations) จะได้สมการออยเลอร์ลากรางจ์ที่เกี่ยวข้องกับ (3.2.1) เป็น

$$\begin{cases} -\nabla \cdot \left( \frac{\nabla u}{|\nabla u|} \right) + \lambda(u - z) = 0, & \mathbf{x} \in (1, n)^2 \\ \frac{\partial u}{\partial \mathbf{n}} = 0, & x \in \partial\Omega \end{cases} \quad (3.2.3)$$

เมื่อ  $\mathbf{n}$  แทนเวกเตอร์หน่วยที่ตั้งฉากกับขอบของภาพ

### 3.3 ตัวแบบเชิงแปรผันสำหรับการต่อเติมภาพสี

ต่อไปเราจะพิจารณาภาพสีในระบบสี RGB นั่นคือ เราสมมติว่า

$$\mathbf{u} = (u_1, u_2, u_3)^{\top}, \mathbf{z} = (z_1, z_2, z_3)^{\top} : \Omega \rightarrow V^3$$

เมื่อ  $u_1, u_2, u_3 : \Omega \rightarrow V$  และ  $z_1, z_2, z_3 : \Omega \rightarrow V$  แทนภาพในเฉดสีแดง สีเขียว และสีน้ำเงินของ  $\mathbf{u}, \mathbf{z}$  ตามลำดับ

ในทำนองเดียวกันกับตัวแบบการต่อเติมภาพเฉดสีเทาที่ใช้การแปรผันรวม ตัวแบบการต่อเติมภาพสีที่ใช้การแปรผันรวมสามารถเขียนได้ดังนี้

$$\min_{\mathbf{u}} \{ \bar{\mathcal{J}}(\mathbf{u}) = \bar{\mathcal{D}}(\mathbf{u}, \mathbf{z}) + \bar{\mathcal{R}}(\mathbf{u}) \} \quad (3.3.1)$$

เมื่อ

$$\bar{D}(\mathbf{u}, \mathbf{z}) = \frac{1}{2} \int_{\Omega} \lambda(u_1 - z_1)^2 d\Omega + \frac{1}{2} \int_{\Omega} \lambda(u_2 - z_2)^2 d\Omega + \frac{1}{2} \int_{\Omega} \lambda(u_3 - z_3)^2 d\Omega$$

และ

$$\bar{\mathcal{R}}(\mathbf{u}) = \int_{\Omega} |\nabla u_1| d\Omega + \int_{\Omega} |\nabla u_2| d\Omega + \int_{\Omega} |\nabla u_3| d\Omega$$

## 3.4 ขั้นตอนวิธีเชิงตัวเลขพื้นฐาน

### 3.4.1 การดิสครีไทซ์เซชันแบบไฟไนต์ดิฟเฟอเรนซ์

ไฟไนต์ดิฟเฟอเรนซ์ (Finite Difference) คือวิธีการสำหรับการประมาณค่าอนุพันธ์เมื่อใช้วิธีเชิงตัวเลข ซึ่งในโครงงานวิจัยชิ้นนี้จะมีตัวดำเนินการที่เกี่ยวข้องกับอนุพันธ์ด้วยกัน 3 ตัวได้แก่ แกรเดียน ไดเวอร์เจน และ ลาปลาเซียนซึ่งสามารถทำการหาได้ดังนี้

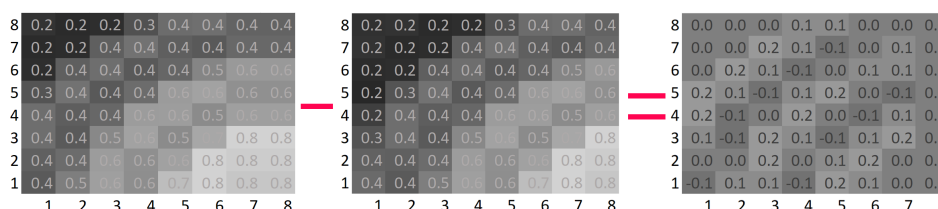
#### การหาอนุพันธ์

ทั้ง แกรเดียน ไดเวอร์เจน และ ลาปลาเซียน ล้วนมีพื้นฐานมาจากการหาค่าอนุพันธ์ในโครงงานวิจัยนี้จะใช้วิธีการฟอร์เวิร์ดดิฟเฟอเรนซ์ (Forward Difference) และใช้เงื่อนไขค่าขอบแบบนิวแมน (neumann boundary condition)

นั่นคือการหาอนุพันธ์ของค่าความเข้มที่พิกัดทางกายภาพเป็น  $(i, j)$

$$\frac{d}{dx} u_{i,j} = \frac{u_{i,j+1} - u_{i,j}}{h}$$

เมื่อระบบกริดที่ใช้มีความห่างเพียงหนึ่งหน่วย จึงได้ว่า  $h = 1$  ทั้งนี้ระยะห่าง  $h$  อาจเปลี่ยนไปตามชั้นของพีระมิดรูปภาพ



รูปที่ 3.4.1: ตัวอย่างการหาอนุพันธ์บนภาพเฉดเทา

จากภาพ 3.1.1 เมื่อต้องการหาอนุพันธ์เทียบแกน  $x$  จะทำตามภาพที่ 3.4.1 โดยทำการสร้างภาพซึ่งทำการตัดขอบทางซ้ายออกหนึ่งคอลัมน์และเพิ่มขอบทางขวาหนึ่งคอลัมน์โดยใช้เงื่อนไขค่าขอบแบบนิวแมน จากนั้นภาพที่สร้างขึ้นไปลบกับภาพเดิมจะได้อนุพันธ์ของภาพนั้นดังที่ปรากฏทางขวา ทั้งนี้หาก  $h \neq 1$  สามารถทำการหารภาพผลลัพธ์ด้วยค่า  $h$  ได้เพื่อให้ได้ค่าที่ต้องการ

### การหาเกรเดียน

สำหรับการหาเกรเดียน (Gradient) จะใช้การหาอนุพันธ์โดยวิธีฟอร์เวิร์ดดิฟเฟอเรนซ์ดังที่กล่าวไปในหัวข้อก่อนหน้านี้ ในแนวแกน  $x$  และแนวแกน  $y$  คำตอบที่ได้จะเป็นเวกเตอร์ของอนุพันธ์แนวแกน  $x$  และอนุพันธ์แนวแกน  $y$  ได้เวกเตอร์ดังนี้

$$\nabla v_{u_i} = \left( \frac{d}{dx} u_{i,j}, \frac{d}{dy} u_{i,j} \right)^T$$

### การหาไดเวอร์เจน

สำหรับไดเวอร์เจน (Divergence) จะเป็นการหาผลรวมของอนุพันธ์ในแต่ละแกนของเวกเตอร์ด้วยวิธีฟอร์เวิร์ดดิฟเฟอเรนซ์ นั่นคือ

$$\nabla \cdot (v_{i,j}) = \frac{\partial d}{\partial x} v_{i,j_x} + \frac{\partial d}{\partial y} v_{i,j_y}$$

### การหาลาปลาเซียน

สำหรับลาปลาเซียน (Laplacian) นั่นคือการหาไดเวอร์เจนบนเวกเตอร์ที่หาเกรเดียนแล้ว แต่ทั้งนี้สามารถหาลาปลาเซียนได้จาก

$$\Delta u_{i,j} = u_{i-1,j} + u_{i+1,j} + u_{i,j-1} + u_{i,j+1} - 4u_{i,j}$$

## 3.4.2 ขั้นตอนวิธีเดินเวลา (explicit time marching method)

คณะวิจัย [2] ได้แนะนำวิธีการเชิงตัวเลขสำหรับการจำลองสัญญาณรบกวนโดยใช้วิธีการเดินเวลาแบบชัดแจ้ง ซึ่งสามารถประยุกต์เป็นวิธีเชิงตัวเลขสำหรับการต่อเติมภาพได้ดังนี้

เริ่มจากการแนะนำตัวแปรเวลาสังเคราะห์ (time artificial variable) จากนั้นหาคำตอบแบบสภาวะคงตัว (steady-state solution) ในกรณีที่  $t \rightarrow \infty$  ของสมการเชิงอนุพันธ์ย่อยไม่เป็นเชิงเส้นที่ขึ้นอยู่กับเวลา

$$u(\mathbf{x}, t_{k+1}) = u(\mathbf{x}, t_k) + \tau \left( \nabla \cdot \left( \frac{\nabla u(\mathbf{x}, t_k)}{|\nabla u(\mathbf{x}, t_k)|} \right) + \lambda(\mathbf{x})(u(\mathbf{x}, t_k) - z(\mathbf{x})) \right), \quad u(\mathbf{x}, t_0) = z \quad (3.4.1)$$

เมื่อ  $t_k = t_0 + k\tau$  ( $\tau > 0$ ) แทนชั้นเวลาที่  $k$  และ  $t_0 = 0$  แทนชั้นเวลาเริ่มต้น

วิธีเดินเวลาแบบชัดแจ้งสำหรับภาพเฉดเทาขั้นตอนวิธีดังนี้

---

**Algorithm 1:** วิธีการเดินเวลาแบบชัดแจ้งสำหรับการต่อเติมภาพที่ใช้การแปรผันรวม

---

**Input:**

$u$  คือรูปภาพที่ต้องการต่อเติม

$\lambda$  คือพารามิเตอร์เร็กคิวลาร์ไรเซชัน ที่ได้กลางถึงในสมการ (3.2.2)

$\beta$  เป็นจำนวนจริงบวกที่ใช้เพื่อหลีกเลี่ยงการหารด้วยศูนย์

$\tau$  เป็นจำนวนจริงบวกที่เป็นตัวแปรเดินเวลา

$N$  เป็นจำนวนเต็มบวกสำหรับกำหนดจำนวนรอบที่ทำงาน

$\varepsilon$  เป็นจำนวนจริงบวกของค่าความคลาดเคลื่อนสัมพัทธ์

**Output:** รูปภาพที่ผ่านการต่อเติมแล้ว

$u \leftarrow \text{ExplicitTimeMarching}(u, \lambda, \beta, \tau, N, \varepsilon)$

initialize  $i = 0; z = u; err = 1$

while  $i < N$  and  $err > \varepsilon$  do

$u^{old} = u$

$u = u + \tau \left( \nabla \cdot \left( \frac{\nabla u}{\sqrt{u_x^2 + u_y^2 + \beta}} \right) + \lambda(u - z) \right)$

$err = \frac{\|u - u^{old}\|}{\|u\|}$

$i = i + 1$

end

---

### 3.4.3 วิธีการทำซ้ำแบบจุดตรึง (fixed-point iteration method)

คณะวิจัย [3] ได้แนะนำวิธีการเชิงตัวเลขสำหรับการกำจัดสัญญาณรบกวนโดยใช้วิธีการทำซ้ำแบบจุดตรึง ซึ่งสามารถประยุกต์เป็นวิธีเชิงตัวเลขสำหรับการต่อเติมภาพได้ดังนี้

เริ่มจากแนะนำดัชนีการทำซ้ำแบบจุดตรึง  $\nu = 0, 1, 2, \dots$  และนิยามรูปแบบการทำซ้ำโดย

$$-\nabla \cdot \left( \frac{\nabla u^{[\nu+1]}}{|\nabla u|^{[\nu]}} \right) + \lambda(u^{[\nu+1]} - z) = 0, \quad u^{[0]} = z \quad (3.4.2)$$

เนื่องจาก  $\frac{1}{|\nabla u|} = \frac{1}{\sqrt{u_x^2 + u_y^2}} \rightarrow \infty$  ในบริเวณที่  $u$  มีความเข้มสีเป็นเอกพันธ์ ( $u(\mathbf{x}) = \text{ค่าคงตัว}$ ) เพื่อหลีกเลี่ยงปัญหาเชิงตัวเลขจะเกิดขึ้นใน (3.4.1) และ (3.4.2) เราจะใช้

$$|\nabla u| \approx |\nabla u|_\beta = \sqrt{u_x^2 + u_y^2 + \beta}, \quad 0 < \beta \ll 1$$

วิธีการทำซ้ำแบบจุดตรึงมีขั้นตอนดังนี้

---

**Algorithm 2:** วิธีการทำซ้ำจุดตรึงสำหรับการต่อเติมภาพที่ใช้การแปรผันรวม

---

**Input:**

$u$  คือรูปภาพที่ต้องการต่อเติม

$\lambda$  คือพารามิเตอร์เร็กกิวลาร์ไรเซชัน ที่ได้กล่าวถึงในสมการ (3.2.2)

$\beta$  เป็นจำนวนจริงบวกที่ใช้เพื่อหลีกเลี่ยงการหารด้วยศูนย์

$N$  เป็นจำนวนเต็มบวกสำหรับกำหนดจำนวนรอบที่ทำงาน

$\varepsilon$  เป็นจำนวนจริงบวกของค่าความคลาดเคลื่อนสัมพัทธ์

**Output:** รูปภาพที่ผ่านการต่อเติมแล้ว

$u \leftarrow \text{FixedPoint}(u, z, \lambda, \beta, N, \varepsilon)$

initialize  $i = 0; u = z; \text{err} = 1$

while  $i < N$  and  $\text{err} > \varepsilon$  do

$u^{\text{old}} = u$

$u = \text{GaussSeidel}(u, z, \lambda, \beta, N_{gs})$

$\text{err} = \frac{\|u - u^{\text{old}}\|}{\|u\|}$

$i = i + 1$

end

---

---

**Algorithm 3:** การทำซ้ำเกาส์-ไซเดล สำหรับวิธีการจุดตรึง

---

**Input:**

$u$  คือรูปภาพที่ต้องการต่อเติม

$\lambda$  คือพารามิเตอร์เร็กคิวลาร์ไรเซชัน ที่ได้กล่าวถึงในสมการ (3.2.2)

$\beta$  เป็นจำนวนจริงบวกที่ใช้เพื่อหลีกเลี่ยงการหารด้วยศูนย์

$N$  เป็นจำนวนเต็มบวกสำหรับกำหนดจำนวนรอบที่ทำงาน

**Output:** รูปภาพที่ผ่านการทำเกาส์-ไซเดลแล้ว

$u \leftarrow \text{GaussSeidel}(u, \lambda, \beta, N_{gs})$

initialize  $k = 0$

$$D(u)_{i,j} = \frac{1}{\sqrt{u_x^2 + u_y^2 + \beta}}, 1 \leq i \leq n_x, 1 \leq j \leq n_y$$

while  $k < N_{gs}$  do

$$u_{i,j}^{k+1} = \frac{\lambda_{i,j} z_{i,j} + (D_{i,j}(u_{i+1,j}^k + u_{i,j+1}^k) + D_{i-1,j} u_{i-1,j}^{k+1} + D_{i,j-1} u_{i,j-1}^{k+1})}{\lambda_{i,j} + (2D_{i,j} + D_{i-1,j} + D_{i,j-1})}$$

$k = k + 1$

end

---

จาก (3.4.1) และ (3.4.2) เราพบว่ายิ่ง  $\beta$  มีค่าน้อยลงมากขึ้นเท่าไร ความแม่นยำของตัวแบบ (3.2.1) ยิ่งมีมากขึ้นเท่านั้น นอกจากนี้ เรายังพบอีกด้วยว่า การแก้สมการ (3.4.1) และ (3.4.2) ยิ่งมีความยุ่งยากมากขึ้นสำหรับ  $\beta$  ที่มีค่าน้อยๆ

เพื่อเอาชนะความยากเชิงตัวเลขนี้ คณะวิจัยโดย [4] ได้แนะนำวิธีการสปริทเบรกแมนซึ่งสามารถกล่าวถึงพอสังเขป ดังนี้

### 3.4.4 วิธีการสปริทเบรกแมน (Split Bregman method)

เริ่มจากการแนะนำเวกเตอร์เสริม  $\mathbf{w}$  พารามิเตอร์เบรกแมน (Bregman parameter)  $\mathbf{b}$  และพารามิเตอร์เพนัลตี (penalty parameter)  $\theta > 0$  และเขียน (3.2.1) ใหม่ ดังนี้

$$\min_{u, \mathbf{w}} \{ \mathcal{J}(u, \mathbf{w}) = \frac{1}{2} \int_{\Omega} \lambda(u - z)^2 d\Omega + \int_{\Omega} |\mathbf{w}| d\Omega + \frac{\theta}{2} \int_{\Omega} (\mathbf{w} - \nabla u + \mathbf{b}) d\Omega \} \quad (3.4.3)$$



สำหรับการหาคำตอบของ (3.4.3) เราจะใช้วิธีการหาค่าต่ำสุดแบบสลับ (alternating minimization method) โดยเริ่มจากการตรึง  $\mathbf{w}^{\text{old}}$  และ  $\mathbf{b}^{\text{old}}$  จากนั้นแก้ปัญหาย่อยสำหรับ  $u$

$$u^{\text{New}} = \arg \min_u \{ \mathcal{J}_1(u) = \frac{1}{2} \int_{\Omega} \lambda(u - z)^2 d\Omega + \frac{\theta}{2} \int_{\Omega} (\mathbf{w}^{\text{old}} - \nabla u + \mathbf{b}^{\text{old}}) d\Omega \} \quad (3.4.4)$$

ต่อไปใช้  $u^{\text{New}}$  ที่ได้จากการแก้ปัญหาย่อย (3.4.4) เพื่อแก้ปัญหาย่อยสำหรับ  $\mathbf{w}$

$$\mathbf{w}^{\text{New}} = \arg \min_{\mathbf{w}} \{ \mathcal{J}_2(\mathbf{w}) = \int_{\Omega} |\mathbf{w}| d\Omega + \frac{\theta}{2} \int_{\Omega} (\mathbf{w} - \nabla u^{\text{New}} + \mathbf{b}^{\text{old}}) d\Omega \} \quad (3.4.5)$$

สุดท้ายจึงปรับปรุงพารามิเตอร์เบรกแมนโดย

$$\mathbf{b}^{\text{New}} = \mathbf{b}^{\text{old}} + \nabla u^{\text{New}} - \mathbf{w}^{\text{New}} \quad (3.4.6)$$

ดำเนินการเช่นนี้จนกระทั่ง  $\|u^{\text{new}} - u^{\text{old}}\| < \epsilon_1$  หรือ  $\text{New} > \epsilon_2$  เมื่อ  $\epsilon_1, \epsilon_2 > 0$

วิธีการสปริทเบรกแมนมีขั้นตอนวิธีดังนี้

---

**Algorithm 4:** วิธีสปริทเบรกแมนสำหรับการต่อเติมภาพที่ใช้การแปรผันรวม

---

**Input:**

$u$  คือรูปภาพที่ต้องการต่อเติม

$\lambda$  คือพารามิเตอร์เร็กคิวลาร์ไรเซชัน ที่ได้กล่าวถึงในสมการ (3.2.2)

$\theta$  คือพารามิเตอร์เพนัลที่ ซึ่งเป็นจำนวนจริงบวก

$N_{gs}$  เป็นจำนวนเต็มบวกสำหรับกำหนดจำนวนรอบที่ทำงานของการทำเกาส์-ไซเดล

$N$  เป็นจำนวนเต็มบวกสำหรับกำหนดจำนวนรอบที่ทำงานของสปริทเบรกแมน

$\varepsilon$  เป็นจำนวนจริงบวกของค่าความคลาดเคลื่อนสัมพัทธ์

**Output:** รูปภาพที่ผ่านการต่อเติมแล้ว

$u \leftarrow \text{SplitBregman}(u, \lambda, \theta, N_{gs}, N, \varepsilon)$

initialize  $i = 0, \mathbf{b} = \vec{0}, \mathbf{w} = \vec{0}, z = u$

while  $i < N$  and  $err > \varepsilon$  do

$u^{old} = u; w^{old} = w; b^{old} = b;$

$u = \arg \min_u \{ \mathcal{J}_1(u) = \frac{1}{2} \int_{\Omega} \lambda (u - z)^2 d\Omega + \frac{\theta}{2} \int_{\Omega} (\mathbf{w}^{old} - \nabla u + \mathbf{b}^{old}) d\Omega \}$

$w = \arg \min_{\mathbf{w}} \{ \mathcal{J}_2(\mathbf{w}) = \int_{\Omega} |\mathbf{w}| d\Omega + \frac{\theta}{2} \int_{\Omega} (\mathbf{w} - \nabla u^{New} + \mathbf{b}^{old}) d\Omega \}$

$b = b^{old} + \nabla u - \mathbf{w}$

$err = \frac{\|u - u^{old}\|}{\|u\|}$

$i = i + 1$

end

---

**หมายเหตุ:**

(1) ผลเฉลยของ  $u = \arg \min_u \mathcal{J}_1(u)$  กำหนดโดยการแก้ปัญหาผลเฉลยของ

$$-\theta \Delta u + \lambda u = \lambda z - \theta \nabla \cdot (\mathbf{w} - \mathbf{b})$$

โดยใช้วิธีการไฟไนต์ดิฟเฟอเรนซ์และวิธีการเกาส์-ไซเดลจำนวน  $N_{gs}$  รอบ

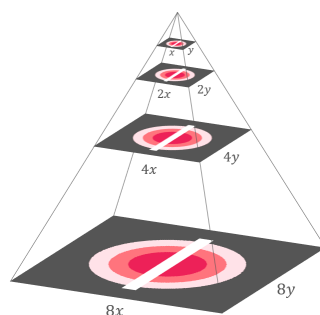
(2) ผลเฉลยของ  $\mathbf{w} = \arg \min_{\mathbf{w}} \mathcal{J}_2(\mathbf{w})$  กำหนดโดย

$$\mathbf{w} = \max \left\{ (\nabla u + \mathbf{b}) - \frac{1}{\theta}, 0 \right\}$$

## 3.5 ขั้นตอนวิธีเชิงตัวเลขที่นำเสนอ

### 3.5.1 ขั้นตอนวิธีเชิงตัวเลขสำหรับต่อเติมภาพศิลปะ

สำหรับวิธีการซ่อมแซมภาพศิลปะไทย จะใช้วิธีการสปริทเบรกแมนเพื่อหลีกเลี่ยงปัญหาเชิงตัวเลขที่จะเกิดขึ้น แต่เพื่อให้วิธีการสปริทเบรกแมนประมวลผลภาพได้รวดเร็วขึ้น ผู้วิจัยได้พัฒนากระบวนการกำหนดคำตอบเริ่มต้น โดยวิธีการ มัลติเรโซลูชัน (multi-resolution method) หรือวิธีการพีระมิดรูปภาพ (pyramid method) [5] เริ่มจากการย่อขนาดรูปลงครึ่งหนึ่งโดยใช้วิธี Bilinear Interpolation จนกระทั่งถึงระดับความคมชัดที่ต้องการ จากนั้นทำการต่อเติมภาพขนาดเล็ก และนำผลลัพธ์ที่ได้จากภาพขนาดเล็กทำการขยายภาพขึ้นสองเท่าโดยใช้ Bilinear Interpolation เป็นคำตอบเริ่มต้นสำหรับการต่อเติมภาพในขั้นถัดไป



รูปที่ 3.5.1: วิธีการพีระมิดรูปภาพ

ขั้นตอนวิธีสำหรับการทำพีระมิดรูปภาพสำหรับการต่อเติมภาพแบบสปริทเบรกแมนเพื่อให้ประมวลผลได้เร็วขึ้นนั้นสามารถสรุปได้ดังนี้

---

**Algorithm 5:** วิธีสปริทเบรกแมนที่ใช้พีระมิดรูปภาพ

---

**Input:**

- $u$  คือรูปภาพที่ต้องการต่อเติม
- $\lambda$  คือพารามิเตอร์เร็กกิวลาร์ไรเซชัน ที่ได้กล่าวถึงในสมการ (3.2.2)
- $\theta$  คือพารามิเตอร์เพนัลตี ซึ่งเป็นจำนวนจริงบวก
- $N_{gs}$  เป็นจำนวนเต็มบวกสำหรับกำหนดจำนวนรอบที่ทำงานของการทำเกาส์-ไซเดล
- $c$  ตัวแปรช่วยสำหรับบอกความลึก ให้กำหนดเป็น 1
- $m$  คือ ระดับความลึกของพีระมิดรูปภาพ เป็นจำนวนเต็มบวก
- $N_0$  จำนวนรอบการทำสปริทเบรกแมนที่ชั้นละเอียดสุด
- $N_1$  จำนวนรอบการทำสปริทเบรกแมนที่ชั้นต่างๆ
- $N_2$  จำนวนรอบการทำสปริทเบรกแมนที่ชั้นหยาบสุด

**Output:** รูปภาพที่ผ่านการต่อเติมแล้ว

$u \leftarrow \text{MultiSplitBregmanColor}(u, \lambda, \theta, N_{gs}, N_0, N_1, N_2, \varepsilon, c, m)$

**Initialize**  $height$  = ความสูงของภาพ  $u$ ,  $width$  = ความกว้างของภาพ  $u$

**if**  $c < m$  **then**

$x = \text{Bilinear}(u, \lfloor width * 0.5 \rfloor, \lfloor height * 0.5 \rfloor)$

$y = \text{Bilinear}(\lambda, \lfloor width * 0.5 \rfloor, \lfloor height * 0.5 \rfloor)$

$r = \text{MRSBC}(x, z, y, \lambda, \theta,$   
 $N_{gs}, N_0, N_1, N_2, \varepsilon, c + 1, m)$

$u = \text{Bilinear}(r, width, height)$

**end**

**if**  $c = 1$  **then**

$N_{SB} = N_0$

**else if**  $c = m$  **then**

$N_{SB} = N_2$

**else**

$N_{SB} = N_1$

**end**

$u = \text{SplitBregmanColor}(u, \lambda, \theta, N_{gs}, N_{SB}, \varepsilon)$

---

---

**Algorithm 6:** Bilinear Interpolation
 

---

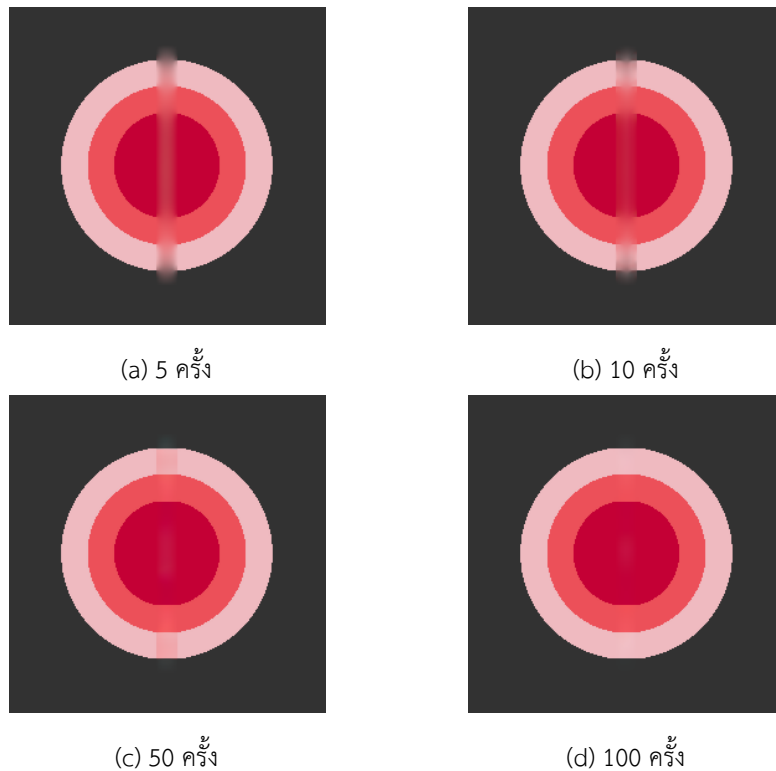
 $J \leftarrow \text{Bilinear}(I, x, y)$ 

**Initialize**  $v$  = ความสูงของภาพ  $I$ ,  $w$  คือความกว้างของภาพ  $I$ ,

 $S_R = \frac{c}{a}, S_C = \frac{d}{b}, r = 1, 2, \dots, v, c = 1, 2, \dots, w,$ 
 $r' = 1, 2, \dots, x, c' = 1, 2, \dots, y,$ 
 $r_f = \lfloor r' \cdot S_R \rfloor$ 
 $c_f = \lfloor c' \cdot S_C \rfloor$ 
 $\Delta r = r_f - r$ 
 $\Delta c = c_f - c$ 
 $J(r', c') = I(r, c) \cdot (1 - \Delta r) \cdot (1 - \Delta c)$ 
 $+ I(r + 1, c) \cdot \Delta r \cdot (1 - \Delta c)$ 
 $+ I(r, c + 1) \cdot (1 - \Delta r) \cdot \Delta c$ 
 $+ I(r + 1, c + 1) \cdot \Delta r \cdot \Delta c$ 


---

นอกจากนี้แล้ว ผู้วิจัยยังได้สังเกตอีกว่า การทำซ้ำนั้นจะลู่เข้าเร็วในช่วงแรก จากนั้นความเร็วในการลู่เข้าจะลดลง ซึ่งทำให้การทำซ้ำเพียงไม่กี่ครั้งในระดับความคมชัดเดิม มีผลการซ่อมแซมภาพจนแสดงความคล้ายคลึงกับภาพต้นฉบับได้



รูปที่ 3.5.2: พิกเซลที่ลำดับการทำซ้ำเป็น 10/10/10 และที่ระดับความคมชัดละเอียดสุดใช้จำนวนการทำซ้ำที่ต่างกัน

ผู้วิจัยจึงกำหนดให้การทำซ้ำในระดับความละเอียดสูงสุดเท่ากับ 10 ครั้ง เพราะการทำซ้ำในระดับความละเอียดสูงสุดทำให้ทำงานได้ช้า อีกทั้งการทำซ้ำในชั้นที่รูปภาพมีขนาดเล็กจำนวนมาก ไม่ช่วยให้การประมวลผลได้เร็วขึ้น ผู้วิจัยจึงเลือกใช้การทำซ้ำแบบ 10/3/3/10 ในการต่อเติมภาพ

### 3.5.2 ขั้นตอนวิธีเชิงตัวเลขสำหรับซ่อมแซมภาพวิดีโอ

เนื่องจากไฟล์วิดีโอประกอบไปด้วยชุดของภาพหลายภาพ กล่าวคือ  $V = \{u_i | i = 1, 2, 3 \dots N_f\}$  ทำให้ขั้นตอนวิธีการลบค่าบรรยายออกจากวิดีโอ จะต้องทำการต่อเติมบริเวณที่เป็นบทรายายทีละภาพ ดังที่แสดงในขั้นตอนวิธีต่อไปนี้

---

**Algorithm 7:** วิธีการลบบรรยายจากวิดีโอ

---

```

 $V \leftarrow \text{SubtitleRemove}(V)$ 
for  $i = 1, 2, \dots, N_f$  do
    • หาโดเมนต่อเติม  $D$  จากเฟรม  $\mathbf{u}_i$  ซึ่งเป็นภาพที่  $i$  ของวิดีโอ  $V$ 
    • ต่อเติมเฟรม  $\mathbf{u}_i$  โดยใช้โดเมนต่อเติม  $D$ 
end

```

---

โดยขั้นตอนการต่อเติมภาพ  $\mathbf{u}_i$  ด้วยโดเมนต่อเติม  $D$  นั้นจะสามารถใช้วิธีการเดียวกับการซ่อมแซมภาพศิลปะไทยได้ ส่วนการหาโดเมนต่อเติมซึ่งเป็นบรรยายอนิเมะ จะกล่าวถึงในหัวข้อย่อถัดไป

**3.5.3 การหาบรรยายบนอนิเมะ**

ก่อนจะลบบรรยายนั้น จำเป็นต้องหาบรรยายในภาพให้ได้เสียก่อน โดยบรรยายของอนิเมะนั้น มักจะใช้ขอบของตัวอักษรเป็นสีดำ อีกทั้งบรรยายนั้นจะลอยห่างออกมาจากขอบของวิดีโอ และขนาดของคำบรรยายนั้นจะมีขนาดอยู่ประมาณหนึ่งไม่ใหญ่หรือไม่เล็กเกินไป ด้วยสมบัตินี้เองทำให้จึงสามารถหาบริเวณบนเฟรมที่เป็นบรรยายได้โดยจะมีวิธีหาพื้นที่ซึ่งเป็นบรรยายดังนี้

---

**Algorithm 8:** Finding subtitle

---

```

 $D \leftarrow \text{findsub}(\mathbf{u})$ 
    • ทำการเปลี่ยนสีดำในภาพ  $\mathbf{u}$  ให้เป็นสีขาวแล้วเปลี่ยนอื่นๆ ให้เป็นสีดำเพื่อหาขอบของคำบรรยาย
    • เปลี่ยนบริเวณสีขาวในภาพให้เป็นสีดำ และเปลี่ยนบริเวณสีดำให้เป็นสีขาว
    • ทำการลบบริเวณสีขาวซึ่งติดกับขอบของภาพออกไป เนื่องจากบรรยายจะลอยอยู่ ไม่ติดกับขอบเสมอ
    • ลบบริเวณที่ใหญ่เกินกว่าจะเป็นบรรยาย
    • ลบบริเวณที่เล็กเกินกว่าจะเป็นบรรยาย
    • ทำการขยายพื้นที่ๆ เป็นสีขาวขึ้นด้วยความกว้างของขอบบรรยาย
    • สีขาวที่เหลืออยู่ในภาพจะเป็นบรรยาย

```

---

### 3.5.4 การลบคำบรรยายจากบอนิเมะ

สำหรับอนิเมะนั้น แต่ละเฟรมจะเป็นรูปภาพ เราจึงสามารถประยุกต์ใช้วิธีการซ่อมแซมภาพจิตรกรรมไทย มาใช้ในการลบคำบรรยายได้ แต่ผู้วิจัยก็ได้สังเกตว่า สำหรับอนิเมะที่เป็นวิดีโอแล้ว ในขณะที่ประมวลผลวิดีโอ เราสามารถใช้ผลการต่อเติมภาพจากภาพที่แล้ว มาใช้เป็นคำตอบเริ่มต้นจึงได้ว่าขั้นตอนการลบบทบรรยายออกจากวิดีโอ มีดังนี้

---

**Algorithm 9:** วิธีการทำงานบนวิดีโอ เมื่อต้องการผลจากภาพที่แล้วมาใช้เป็นคำตอบเริ่มต้น

---

```

 $V \leftarrow \text{RemoveSubtitle}(V)$ 
initialize  $i = 1$ 

while  $i < N_f - 1$  do
     $\mathbf{u}_i$  คือเฟรมที่  $i$  ใน  $V$ 
     $\mathbf{u}_{i+1}$  คือเฟรมที่  $i + 1$  ใน  $V$ 
     $D$  คือโดเมนต่อเติมใน  $\mathbf{u}_{i+1}$ 
     $\mathbf{u}_{i+1} = \text{RemoveByBorrowFrame}(\mathbf{u}_i, D, \mathbf{u}_{i+1})$ 
end

```

---

$\text{RemoveByBorrowFrame}(\mathbf{u}_i, D, \mathbf{u}_{i+1})$  คือขั้นตอนวิธีที่ 10 ซึ่งในทำนองเดียวกันเราสามารถเปลี่ยน  $\text{RemoveByBorrowFrame}(\mathbf{u}_i, D, \mathbf{u}_{i+1})$  เป็น  $\text{RemoveBySkipFrame}(\mathbf{u}_i, D, \mathbf{u}_{i+1})$  เพื่อใช้กับขั้นตอนวิธี 11 และเปลี่ยนเป็น  $\text{RemoveBySkipAndBorrowFrame}(\mathbf{u}_i, D, \mathbf{u}_{i+1})$  เพื่อใช้กับขั้นตอนวิธี 12 ได้

ขั้นตอนวิธี การยืมเฟรม จะเป็นการนำผลลัพธ์จากเฟรมก่อนหน้ามาเป็นคำตอบในการเริ่มต้นในการประมวลผลเพื่อให้ผลลัพธ์ลู่เข้าได้เร็วขึ้น



---

**Algorithm 10:** การลบขบทรายโดยใช่วิธีการยืมเฟรม

---

$v \leftarrow \text{RemoveByBorrowFrame}(u, D, v)$   
 $s =$  ค่า SSIM ระหว่าง  $u$  และ  $v$  บริเวณนอกโดเมนต่อเติม  
 if  $s > 0.9$  then  
     คัดลอกบริเวณในโดเมนต่อเติมจาก  $u$  ไปยัง  $v$   
 end  
 $v = \text{MultiSplitBregmanColor}(v, \lambda, \theta, N_{gs}, N_0, N_1, N_2, \varepsilon, 1, m)$

---

ขั้นตอนวิธี การข้ามเฟรม สำหรับเฟรมใดที่ผลลัพธ์ใกล้เคียงกันมาก จะทำการข้ามการต่อเติมภาพในเฟรมนั้นไปโดยใช้คำตอบจากเฟรมก่อนหน้าแทนเพื่อลดเวลาการประมวลผล

---

**Algorithm 11:** การลบขบทรายโดยใช่วิธีการข้ามเฟรม

---

$v \leftarrow \text{RemoveBySkipFrame}(u, D, v)$   
 $s =$  ค่า SSIM ระหว่าง  $u$  และ  $v$  บริเวณนอกโดเมนต่อเติม  
 if  $s > 0.95$  then  
     คัดลอกบริเวณในโดเมนต่อเติมจาก  $u$  ไปยัง  $v$   
 else  
      $v = \text{MultiSplitBregmanColor}(v, \lambda, \theta, N_{gs}, N_0, N_1, N_2, \varepsilon, 1, m)$   
 end

---

ขั้นตอนวิธี การข้ามและยืมเฟรม คือขั้นตอนวิธี 10 และขั้นตอนวิธี 11 ที่นำมาประยุกต์ใช้งานร่วมกัน

---

**Algorithm 12:** การลบขบทรายโดยใช่วิธีการข้ามเฟรมและยืมเฟรม

---

$v \leftarrow \text{RemoveBySkipAndBorrowFrame}(u, D, v)$   
 $s =$  ค่า SSIM ระหว่าง  $u$  และ  $v$  บริเวณนอกโดเมนต่อเติม  
 if  $s > 0.95$  then  
     คัดลอกบริเวณในโดเมนต่อเติมจาก  $u$  ไปยัง  $v$   
 else if  $s > 0.9$  then  
     คัดลอกบริเวณในโดเมนต่อเติมจาก  $u$  ไปยัง  $v$   
      $v = \text{MultiSplitBregmanColor}(v, \lambda, \theta, N_{gs}, N_0, N_1, N_2, \varepsilon, 1, m)$   
 else  
      $v = \text{MultiSplitBregmanColor}(v, \lambda, \theta, N_{gs}, N_0, N_1, N_2, \varepsilon, 1, m)$   
 end

---

จากนั้นทางผู้พัฒนาจะนำวิธีการลบทบรยายอนิเมะที่น่าเสนอนี้ไปทดลองลบทบรยายเพื่อเปรียบเทียบประสิทธิภาพกับวิธีสปริทเบรกแมนเดิมที่นำมาใช้กับวิดีโอ

## บรรณานุกรม

- [1] T.F. Chan and J. Shen , “Mathematical models of local non-texture inpaintings”, SIAM Journal on Applied Mathematics, vol. 62, no. 3, pp. 1019–1043, 2001.
- [2] L. I. Rudin, S. Osher, E. Fatemi, “Nonlinear total variation based noise removal algorithms”, Physica D: Nonlinear Phenomena, vol 60, issues 1–4, pp. 259-268, 1992.
- [3] C.R. Vogel and M.E. Oman, “Iterative methods for total variation denoising”, SIAM Journal on Scientific Computing. vol. 17, pp. 227-238, 1996.
- [4] T. Goldstein and S. Osher, “The Split Bregman Method for L1-Regularized Problems”, SIAM Journal on Imaging Sciences. vol. 2, issue 2, pp. 323-343, 2009.
- [5] E.H. Andelson and C.H. Anderson and J.R. Bergen and P.J. Burt and J.M. Ogden. ”Pyramid methods in image processing”. 1984
- [6] David Salomon. Data Compression: The Complete Reference (4 ed.). Springer. pp. 281. 2007.
- [7] Zhou Wang, Alan Conrad Bovik, Hamid Rahim Sheikh and Eero P. Simoncelli, ”Image quality assessment: from error visibility to structural similarity,” in IEEE Transactions on Image Processing, vol. 13, no. 4, pp. 600-612, 2004.